

## Вклад вторичных гармоник возмущения в сепаратрисное отображение гамильтоновой системы

© В.В. Вечеславов

Институт ядерной физики им. Г.И. Будкера СО РАН,  
630090 Новосибирск, Россия  
e-mail: vecheslavov@inp.nsk.su

(Поступило в Редакцию 6 июля 2004 г.)

В литературе уже обсуждалась особая роль, которую могут играть в нелинейных гамильтоновых системах низкочастотные вторичные гармоники, возникающие на сумме и разности явно входящих в гамильтониан первичных частот. Эти гармоники имеют второй порядок малости и составляют весьма незначительную долю возмущения. Несмотря на это, их вклад в амплитуду сепаратрисного отображения системы при определенных условиях может на несколько порядков превышать вклады от первичных частот и тем самым полностью определять формирование динамического хаоса. В настоящей работе дан обзор полученных по этой теме на сегодняшний день теоретических и численных результатов. В качестве примера приведен маятник, возмущение которого представлено в гамильтониане двумя несимметричными гармониками с высокими и близкими по модулю частотами. Получено аналитическое выражение вклада вторичной гармоники в амплитуду сепаратрисного отображения этой системы и с его помощью исследован не рассмотренный ранее случай весьма низких вторичных частот. Указаны области, где амплитуда сепаратрисного отображения растет линейно с частотой, а размер хаотического слоя вообще от нее не зависит. Приведено сравнение результатов теории и численного счета.

### История вопроса

Как известно, в гамильтониановых системах с разделенным на хаотическую и регулярную компоненты фазовым пространством формирование хаоса определяется взаимодействием нелинейных резонансов. В конкретных ситуациях один из резонансов объявляется основным и вблизи него выбираются начальные условия, а остальные рассматриваются как возмущение. Наиболее интересной и неожиданной оказалась динамика в окрестности сепаратрис основного резонанса — особых траекторий, отделяющих области с вращающейся (вне резонанса) и колеблющейся (внутри резонанса) фазой. Сравнительно недавно здесь обнаружили новые любопытные детали, о которых необходимо сказать.

Всегда считалось, что хаос возникает именно вблизи сепаратрис, поскольку период движения по ним бесконечен и взаимодействие резонансов в этой области всегда существенно [1–3]. Оказалось, однако, что это представление справедливо только для систем с аналитическим потенциалом, фурье-амплитуды которого убывают экспоненциально. При этом возмущение расщепляет каждую сепаратрису на две отдельные ветви, которые заполняют узкую область, образуя хаотический слой. Напомним, что в возникающем на месте расщепленных сепаратрис хаотическом слое следует различать три части: верхнюю (фаза  $x$  вращается сверху  $p > 0$ ), среднюю (фаза колеблется) и нижнюю (фаза  $x$  вращается снизу  $p < 0$ ).

В случае гладкого потенциала со степенным законом убывания фурье-амплитуд ситуация может оказаться качественно иной. Примеры нерасщепленных сепаратрис (как целых, так и дробных резонансов) и отсутствия на

их месте хаотического слоя в кусочно-линейных системах приведены и обсуждаются в работах [4–6]. Следует особо подчеркнуть, что сами системы при этом остаются неинтегрируемыми и их сепаратрисы сохраняются в условиях сильного локального хаоса.

Выяснилось также, что на процесс образования хаоса существенно влияет и характер самого возмущения, в первую очередь его спектральный состав. Напомним кратко историю этого вопроса.

Пусть система представлена гамильтонианом маятника

$$H(x, p, t) = \frac{p^2}{2} + \cos(x) + V(x, t) \quad (1)$$

с единственной гармоникой возмущения

$$V(x, t) = \varepsilon \cos\left(\frac{n}{2}x - \Omega t\right) \quad (2)$$

и положительными параметрами  $n, \Omega$ . Эта гармоника также является резонансом, на фазовой плоскости она располагается выше основного резонанса маятника, поэтому ее удобно назвать верхней гармоникой.

Как установил Чириков [1], теоретическая амплитуда сепаратрисного отображения верхней части хаотического слоя, порожденная верхней гармоникой возмущения (2), связана соотношением

$$W(\Omega, n) = \varepsilon \Omega A_n(\Omega) \quad (3)$$

с интегралами Мельникова–Арнольда

$$A_n(\Omega > 0) = \frac{2\pi}{(n-1)!} \frac{\exp(\pi\Omega/2)}{\operatorname{sh}(\pi\Omega)} (2\Omega)^{n-1} [1 + f_n(\Omega)], \quad (4)$$

где входящие в квадратные скобки функции  $f_n(\Omega)$  определяются рекуррентными соотношениями

$$f_1 = f_2 = 0, \\ f_{n+1} = f_n - (1 + f_{n-1}) \frac{n(n-1)}{4\Omega^2}, \quad n \geq 3. \quad (5)$$

Замена в (2)  $\Omega$  на  $-\Omega$  превращает верхнюю гармонику в нижнюю и при вычислении ее вклада в амплитуду сепаратрисного отображения верхней части слоя надо в формуле (3) использовать существенно иное выражение

$$A_n(\Omega < 0) = (-1)^n A_n(|\Omega|) \exp(-\pi|\Omega|). \quad (6)$$

Следует особо подчеркнуть, что при выводе соотношений (3)–(6) в работе [1] не делалось никаких упрощающих предположений и допущений и они справедливы при любой величине  $\Omega$  из интервала  $0 < |\Omega| < \infty$ . Заметим также, что интегралы (4) при изменении частоты  $\Omega$  вместе с множителем в квадратных скобках проходят через нули, число которых определяется индексом интеграла. Мельникова–Арнольда *n*.

Исследования Чирикова показали, что для системы с симметричным возмущением вида

$$V(x, t) = \varepsilon \left[ \cos\left(\frac{n}{2}x - \Omega t\right) + \cos\left(\frac{n}{2}x + \Omega t\right) \right] \quad (7)$$

амплитуда  $W$  сепаратрисного отображения и энергетический размер хаотического слоя

$$w_{tp} = |w_{md}| = w_{bt} = \Omega W \quad (8)$$

в высокочастотном пределе  $\Omega \rightarrow \infty$  с ростом частоты убывают экспоненциально и что все три части слоя имеют одинаковую ширину (здесь  $w = p^2/2 + \cos x - 1$  — относительное отклонение от невозмущенной сепаратрисы по энергии).

В недавней работе [7] также для симметричной системы (1), (7) рассматривалась низкочастотная асимптотика  $\Omega \rightarrow 0$  и было найдено, что в этом пределе амплитуда сепаратрисного отображения растет линейно с частотой, а ширина слоя вообще от нее не зависит. Обе эти асимптотики устроены относительно просто и наиболее трудной для анализа является область средних частот, где соответствует какой-либо малый (или большой) параметр адиабатичности. Весьма полезными здесь оказались так называемые резонансные инварианты, которые неплохо передают топологию отдельных резонансов. Такие инварианты первых трех порядков, соответствующие резонансам 1:1, 1:2 и 1:3, построены для стандартного отображения Чирикова в работе [8] и для одночастотного сепаратрисного отображения в [9]. Выражения для инвариантов двойной частоты, введенные специально для изучения хаоса в окрестности нулей интегралов Мельникова–Арнольда, получены недавно в [10].

Несимметричное возмущение, насколько нам известно, впервые рассмотрено в работах [11,12], где исследовался гамильтониан маятника (1) при воздействии на него двух гармоник с различными частотами

$$V(x, t) = \varepsilon_1 \cos(x - \Omega_1 t) + \varepsilon_2 \cos(x - \Omega_2 t). \quad (9)$$

Амплитуды этих гармоник  $\varepsilon_1, \varepsilon_2 \ll 1$  предполагались малыми, а частоты — высокими  $|\Omega_1|, |\Omega_2| \gg 1$ .

Именно в этом случае в возмущении возникают вторичные гармоники порядка  $\sim \varepsilon_1 \varepsilon_2$  с частотами

$$\Delta\Omega_+ = \Omega_1 + \Omega_2, \quad \Delta\Omega_- = \Omega_2 - \Omega_1, \quad (10)$$

которые при  $\varepsilon_1, \varepsilon_2 \ll 1$  оказываются много слабее первичных (см. пример ниже).

Уже первые численные эксперименты с системой (1), (9) позволили обнаружить тот удивительный на первый взгляд факт, что именно эти весьма слабые вторичные гармоники возмущения при определенных условиях полностью определяют амплитуду сепаратрисного отображения и размер хаотического слоя.

В работе [12] рассмотрен пример системы с параметрами  $\varepsilon_1 = \varepsilon_2 = 0.075$ ,  $\Omega_1 = 13$ ,  $\Omega_2 = -10$ , причем образующаяся на сумме частот  $\Delta\Omega_+ = 3$  вторичная гармоника имела в возмущении амплитуду  $\approx 4.5 \cdot 10^{-5}$ , что в  $\sim 1700$  раз меньше амплитуд первичных гармоник. Однако ее вклад в амплитуду отвечающего за образование хаоса сепаратрисного отображения верхней части слоя превысил суммарный вклад от первичных гармоник почти в 400 раз. Размеры отдельных частей слоя оказались при этом существенно различными. Все это есть следствие упоминавшейся выше экспоненциальной зависимости ширины слоя от частоты при  $\Omega \gg 1$ , что и позволяет очень слабым, но низкочастотным вторичным гармоникам решающим образом влиять на образование хаоса. Эта важная роль вторичных гармоник на сумме частот была также подтверждена и для гладких систем [13].

Наконец, в недавней работе [14] рассмотрено несимметричное возмущение достаточно общего вида

$$V(x, t) = \varepsilon_1 \cos(m_1 x - \Omega_1 t) + \varepsilon_2 \cos(m_2 x - \Omega_2 t), \quad (11)$$

где  $m_1$  и  $m_2$  — произвольные положительные целые числа.

Напомним, что именно эти параметры возмущения  $m_1$  и  $m_2$  определяют структуру (в частности, число нулей) интегралов Мельникова–Арнольда (4), (5). В окрестности этих нулей динамический хаос формируется с особенностями, которые обсуждены в [14, раздел 3]. Мы также будем ниже рассматривать систему (1) с возмущением (11). Заметим попутно, что нам придется иметь дело с интегралами (4), (5) только четных индексов  $n$ , поскольку  $m_1$  и  $m_2$  — целые числа.

## Амплитуды вторичных гармоник

Амплитуды вторичных гармоник возмущения заранее неизвестны и их необходимо найти. Строгая теория здесь пока отсутствует, однако общий подход к проблеме и способ получения приближенных аналитических соотношений был предложен в работе [11]. Следуя этой работе, сделаем в (1), (11) замену переменных,

введя вместо координаты  $x(t)$  и импульса  $p(t)$  их отклонения от значений на невозмущенной сепаратрисе  $x_s(t) = 4 \operatorname{arctg}(e^t)$ ,  $p_s(t) = 2 \sin(x_s(t))$

$$\begin{aligned} y(t) &= x(t) - x_s(t), \\ u(t) &= p(t) - p_s(t), \end{aligned} \quad (12)$$

и с помощью производящей функции  $F_2(u, x, t) = [p_s(t) - u][x - x_s(t)]$  построим новый гамильтониан

$$\begin{aligned} H(y, u, t) &= \frac{u^2}{2} + \cos y \cos x_s(t) - \sin y \sin x_s(t) \\ &+ y \sin x_s(t) + \sum_{k=1}^2 \varepsilon_k [\cos(m_k y) \cos(m_k x_s(t) - \Omega_k t) \\ &- \sin(m_k y) \sin(m_k x_s(t) - \Omega_k t)]. \end{aligned} \quad (13)$$

Учитывая слабость возмущения, полагаем  $|y(t)| \ll 1$ , производим в (13) замены  $\cos(my) \rightarrow 1 - (my)^2/2$ ,  $\sin(my) \rightarrow my$  и находим уравнение

$$\begin{aligned} d^2 y / dt^2 &= y \left[ \cos x_s + \sum_{k=1}^2 \varepsilon_k m_k^2 \cos(m_k x_s - \Omega_k t) \right] \\ &+ \sum_{k=1}^2 \varepsilon_k m_k \sin(m_k x_s - \Omega_k t). \end{aligned}$$

Обозначим через  $\Delta y_\varepsilon$  разность между левой и правой частями этого уравнения

$$\begin{aligned} \Delta y_\varepsilon &= \frac{d^2 y}{dt^2} - y \left[ \cos x_s + \sum_{k=1}^2 \varepsilon_k m_k^2 \cos(m_k x_s - \Omega_k t) \right] \\ &- \sum_{k=1}^2 \varepsilon_k m_k \sin(m_k x_s - \Omega_k t). \end{aligned} \quad (14)$$

Нас интересует только вынужденное (исчезающее при  $\varepsilon \rightarrow 0$ ) решение  $y_\varepsilon$ , которое удобно находить последовательными приближениями, стремясь свести  $\Delta y_\varepsilon$  к нулю [11]. После двух приближений имеем

$$\begin{aligned} y_\varepsilon^{(2)}(t) &\approx - \sum_{k=1}^2 \frac{\varepsilon_k m_k}{(m_k p_s - \Omega_k)^2} \sin(m_k x_s - \Omega_k t) \\ &- \frac{\varepsilon_1 \varepsilon_2 m_1 m_2}{2} \left\{ \left[ \frac{m_2}{(m_1 p_s - \Omega_1)^2} + \frac{m_1}{(m_2 p_s - \Omega_2)^2} \right] \right. \\ &\times \frac{\sin(m_+ x_s - \Delta \Omega_+ t)}{(m_+ p_s - \Delta \Omega_+)^2} \\ &+ \left[ \frac{m_1}{(m_2 p_s - \Omega_2)^2} - \frac{m_2}{(m_1 p_s - \Omega_1)^2} \right] \\ &\times \left. \frac{\sin(m_- x_s - \Delta \Omega_- t)}{(m_- p_s - \Delta \Omega_-)^2} \right\} + \dots, \end{aligned} \quad (15)$$

где не выписаны второстепенные члены и введены обозначения для суммы и разности параметров возмущения  $m_+ = m_1 + m_2$ ,  $m_- = m_2 - m_1$ .

В работе [14] нас интересовали в основном окрестности нулей интегралов (4), которые располагаются при значениях частоты  $\Delta \Omega_\pm$  порядка единицы, поэтому для упрощения выражений во всех знаменателях формулы (15) в [14] (где она фигурирует под номером (16)) были опущены члены вида  $m p_s$ . В настоящей работе мы планируем рассмотреть случай очень низких вторичных частот  $\Delta \Omega_\pm \ll 1$  (см. следующий раздел), поэтому отказываемся от этих упрощений и используем далее точные формулы.

Возвращаясь к системе (1), (11), положим в ней  $x = x_s(t) + y_\varepsilon^{(2)}(t)$ . Поскольку движение происходит вблизи невозмущенной сепаратрисы, введем замены  $\cos my \rightarrow 1$ ,  $\sin my \approx my_\varepsilon^{(2)}$  и перепишем выражение для возмущения (11) в виде

$$V(y, t) \approx -y_\varepsilon^{(2)} \left[ \sin x_s + \sum_{k=1}^2 \varepsilon_k m_k \sin(m_k x_s - \Omega_k t) \right]. \quad (16)$$

Подставив (15) в (16), убеждаемся, что низкочастотные гармоники на сумме и разности частот (только они представляют интерес) могут проникнуть в возмущение двумя путями. Один из них реализуется при взаимодействии суммы в (15) с первичными гармониками возмущения в (16). Это приводит к появлению в возмущении гармоник как на сумме частот

$$\varepsilon_+ \cos(m_+ x_s - \Delta \Omega_+ t),$$

$$\varepsilon_+ = - \frac{\varepsilon_1 \varepsilon_2 m_1 m_2}{2} \left[ \frac{m_2}{(m_1 p_s - \Omega_1)^2} + \frac{m_1}{(m_2 p_s - \Omega_2)^2} \right], \quad (17)$$

так и на их разности

$$\begin{aligned} &\varepsilon_- [\cos(m_- x_s - \Delta \Omega_- t)], \\ \varepsilon_- &= - \frac{\varepsilon_1 \varepsilon_2 m_1 m_2}{2} \left[ \frac{m_1}{(m_2 p_s - \Omega_2)^2} - \frac{m_2}{(m_1 p_s - \Omega_1)^2} \right]. \end{aligned} \quad (18)$$

Уместно заметить, что формулы (17), (18) описывают вклады от взаимодействий гармоник возмущения друг с другом.

Второй путь — взаимодействие членов  $\sim \varepsilon_1 \varepsilon_2$  в (15) с порожденным основным резонансом членом  $\sin x_s$  в (16). Здесь возникают по две вторичные гармоники возмущения на сумме частот

$$\begin{aligned} &\frac{\varepsilon_+}{2} \left\{ \frac{\cos((m_+ - 1)x_s - \Delta \Omega_+ t)}{[(m_+ - 1)p_s - \Delta \Omega_+]^2} \right. \\ &\quad \left. - \frac{\cos((m_+ + 1)x_s - \Delta \Omega_+ t)}{[(m_+ + 1)p_s - \Delta \Omega_+]^2} \right\}, \end{aligned} \quad (19)$$

где значение  $\varepsilon_+$  дается формулой (17), и на разности частот

$$\begin{aligned} &\frac{\varepsilon_-}{2} \left\{ \frac{\cos((m_- - 1)x_s - \Delta \Omega_- t)}{[(m_- - 1)p_s - \Delta \Omega_-]^2} \right. \\ &\quad \left. - \frac{\cos((m_- + 1)x_s - \Delta \Omega_- t)}{[(m_- + 1)p_s - \Delta \Omega_-]^2} \right\}, \end{aligned} \quad (20)$$

где значение  $\varepsilon_-$  дается формулой (18).

Формулы (19), (20) описывают вклады от взаимодействия порожденных возмущением членов с основным резонансом.

Знание амплитуд вторичных гармоник в возмущении позволяет с помощью соотношения (3) записать их амплитуды в сепаратрисном отображении через интегралы Мельникова–Арнольда (4)

$$W_{\pm} = -\tilde{\varepsilon}_{\pm} a_{\pm} \Delta\Omega_{\pm} \left[ A_{2m_{\pm}}(\Delta\Omega_{\pm}) + \frac{A_{2m_{\pm}-2}(\Delta\Omega_{\pm})}{2[(m_{\pm}-1)p_s - \Delta\Omega_{\pm}]^2} - \frac{A_{2m_{\pm}+2}(\Delta\Omega_{\pm})}{2[(m_{\pm}+1)p_s - \Delta\Omega_{\pm}]^2} \right], \quad (21)$$

$$\tilde{\varepsilon}_{\pm} = \frac{m_1 m_2 \varepsilon_1 \varepsilon_2}{2} \left[ \frac{m_1}{[m_2 p_s - \Omega_2]^2} \pm \frac{m_2}{[m_1 p_s - \Omega_1]^2} \right], \quad (22)$$

где в нижних индексах верхние знаки относятся к сумме частот, нижние — к разности и в зависимости (21) введены подгоночные эмпирические коэффициенты  $a_{+}$  и  $a_{-}$ .

Практика применения формулы (21) показала, что главная роль в ней принадлежит первому члену в квадратных скобках.

Как отмечалось выше, при выводе основных формул (21), (22) не делались никакие упрощающие предположения и они пригодны при любых значениях первичных частот [14]. Но в следующем разделе мы подробно рассмотрим случай очень низкочастотной вторичной гармоники (возникающей на сумме двух близких по модулю первичных частот), где такие упрощения оказываются уместны.

### Случай близких первичных частот

Пусть возмущение в гамильтониане содержит две близкие по модулю и разные по знаку частоты  $\Omega_1 \approx |\Omega_2| \gg 1$ . Интерес здесь представляет только низкочастотная вторичная гармоника на сумме частот  $\Delta\Omega_{+} = \Omega_1 + \Omega_2 \ll 1$ . Вторичная гармоника на разности частот оказывается много слабее (а при равных параметрах возмущения  $m_1 = m_2$  она вообще не возникает; см. формулу (22)). По этой причине в нижних индексах формул (21), (22) мы будем впредь использовать только знак плюс.

Дальнейшие упрощения связаны со значениями интегралов Мельникова–Арнольда (4) в низкочастотном пределе  $\Delta\Omega_{+} \rightarrow 0$ . Здесь существенным оказывается асимптотическое выражение для суммы в квадратных скобках, которое при четных значениях индекса  $n = 2, 4, 6, \dots$  записывается в виде

$$1 + f_n(\Delta\Omega_{+}) \rightarrow s_n(\Delta\Omega_{+}) = \frac{c_n}{\Delta\Omega_{+}^{n-2}}, \quad \Delta\Omega_{+} \rightarrow 0, \quad (23)$$

где для коэффициентов  $c_n$  в (23) с помощью рекуррентных соотношений (5) находим

$$c_2 = 1, \quad c_4 = -2, \quad c_6 = \frac{23}{2}, \\ c_8 = -132, \quad c_{10} = \frac{5067}{2} \dots \quad (24)$$

Используя последние выражения, можно показать, что в низкочастотном пределе интегралы (4) перестают зависеть от частоты и стремятся к неким постоянным величинам  $K_n$ , значения которых определяются только индексом  $n$

$$K_n = A_n(\Omega \rightarrow 0) = \frac{2^n}{(n-1)!} c_n. \quad (25)$$

Амплитуда сепаратрисного отображения в низкочастотном пределе оказывается, таким образом, линейной функцией частоты

$$W_{+} = -\tilde{\varepsilon}_{+} \Delta\Omega_{+} \left[ K_{2m_{+}} + \frac{K_{2m_{+}-2}}{2[(m_{+}-1)p_s]^2} - \frac{K_{2m_{+}+2}}{2[(m_{+}+1)p_s]^2} \right] \approx -\tilde{\varepsilon}_{+} C_{+} \Delta\Omega_{+}. \quad (26)$$

В работе [7] показано, что если амплитуда сепаратрисного отображения изменяется по линейному закону, то размер верхней части хаотического слоя вообще перестает зависеть от частоты. Численную проверку этих фактов мы проведем в следующем разделе, а сейчас уместно напомнить некоторые связанные с сепаратрисным отображением сведения.

Это отображение, впервые введенное в работе [15], описывает поведение движущейся вблизи сепаратрисы основного резонанса гамильтоновой системы и в случае маятника имеет вид

$$\bar{w} = w + \sum_l W_l \sin \Omega_l t_{\pi}, \\ \bar{t}_{\pi} = t_{\pi} + \ln \left( \frac{32}{|\bar{w}|} \right); \quad l = 1, 2, \dots, \quad (27)$$

где  $w = p^2/2 + \cos x - 1$  — относительное отклонение от невозмущенной сепаратрисы по энергии (см. (8)),  $t_{\pi}$  — моменты прохождения системой положения устойчивого равновесия  $x = \pi$ .

Под знаком суммы должны быть перечислены все существенные для исследуемой части хаотического слоя гармоники, как первичные (явно входящие в возмущение (11)), так и вторичные (которых в (11) нет).

При несоизмеримых частотах  $\Omega_l$  моменты  $t_{\pi}$  отсчитываются в шкале непрерывного времени. Если же частоты кратны некоторой опорной частоте  $\Omega_0$ , то последнее соотношение в (27) можно (но не обязательно) переписать в виде

$$\bar{\psi}_{\pi} = \psi_{\pi} + \Omega_0 \ln \left( \frac{32}{|\bar{w}|} \right), \\ \psi_{\pi} = \Omega_0 t_{\pi} \pmod{2\pi}. \quad (28)$$

Итерации сепаратрисного отображения, как известно, являются самым быстрым и экономным способом определения размеров отдельных частей хаотического слоя, и это оправдывает усилия, направленные на его построение.

Нам предстоит сравнить между собой величины теоретически и численно найденных амплитуд сепаратрисного отображения и уместно кратко напомнить алгоритм численного построения этого отображения (подробности в [11]). Прежде всего на линии симметрии  $x = \pi$  с высокой точностью отыскивается центральная гомоклинная точка  $p_{fb}$  как граница между вращением и колебанием фазы. Вблизи этой точки гарантированно в исследуемой части слоя выбирается узкий по импульсу интервал  $x = \pi$ ,  $p_{fb} < p < p_{fb} + \delta p$ , из которого запускается случайная траектория. Эта траектория либо совершает предписанное число периодов движения, либо прерывается из-за перехода в другую часть слоя. В обоих случаях из того же интервала запускается новая случайная траектория, пока не наберется требуемое число периодов  $N$ . Для каждого периода определяется отклонение от невозмущенной сепаратрисы по энергии

$$w = 32 \exp(-T), \quad (29)$$

где  $T$  — интервал времени между двумя последовательными прохождениями положения устойчивого равновесия  $x = \pi$ .

Определяя изменение  $\delta w = \bar{w} - w$  энергии для каждой пары соседних периодов и приписывая его к общему для этой пары моменту времени  $t_\pi$ , можно построить сепаратрисное отображение (27)  $(\delta w)_k, t_{\pi,k}$ ,  $k = 1, 2, \dots, N - 1$ . Мы будем для определенности всегда исследовать верхнюю часть слоя. Именно внешние части слоя (верхняя и нижняя) представляют основной интерес, поскольку участвуют в перекрытии соседних резонансов и возникновении глобального хаоса.

## Сравнение результатов теории и численного эксперимента

Как отмечалось выше, исследование окрестностей нулей интегралов Мельникова–Арнольда выполнено в [14], и в настоящей работе мы ими интересоваться не будем. По этой причине в этом разделе рассматривается возмущение (11) с фиксированными параметрами

$$\varepsilon_1 = \varepsilon_2 = 0.01, \quad m_1 = 1, \quad m_2 = 1 \quad (30)$$

при различных значениях первичных частот  $\Omega_1, \Omega_2$ . Отметим, что интегралы Мельникова–Арнольда (4) при таком выборе возмущения не имеют нулей во всем интервале частот  $0 < \Omega < \infty$ .

Чтобы работать с величинами порядка единицы, будем использовать далее так называемые приведенные значения амплитуды сепаратрисного отображения и энергетического размера верхней части хаотического слоя вида

$$W^* = \frac{10^3 W}{\varepsilon_1 \varepsilon_2}, \quad w_{ip}^* = \frac{10^3 w_{ip}}{\varepsilon_1 \varepsilon_2}. \quad (31)$$

Начнем с симметричного случая равных по модулю частот

$$\Omega_1 = 16.0, \quad \Omega_2 = -16.0. \quad (32)$$

Вычисленные по формулам Чирикова (3)–(6) теоретическая амплитуда сепаратрисного отображения и полуширина слоя оказались равны  $W^* = 3.92 \cdot 10^{-2}$  и  $w_{ip}^* \approx 0.65$  соответственно. Численное построение отображения по формулам (27), (28) и последующие его итерации подтверждают эти цифры, и картина имеет вид синусоиды с частотой  $\Omega = 16.0$ .

Казалось бы, небольшое изменение одной из частот не должно резко изменить полученный выше результат. Для проверки этого предположения внесем в возмущение (32) слабую несимметрию

$$\Omega_1 = 16.0, \quad \Omega_2 = -15.9, \quad \Delta\Omega_+ = 0.1. \quad (33)$$

На рис. 1 представлены данные численного счета. Видно, что сепаратрисное отображение осталось одночастотным, но его амплитуда возросла примерно в 30 раз ( $W^* = 1.20$ ) и, что самое важное, оно с высокой частоты  $\Omega = 16.0$  перестроилось на очень низкую частоту вторичной гармоники  $\Delta\Omega_+ = 0.1$ . Размер верхней части слоя вырос при этом более чем в два раза  $w_{ip}^* \approx 1.55$ . Заметим попутно, что суммарный вклад в амплитуду  $W$  первичных гармоник возмущения составил менее двух процентов. Мы вновь сталкиваемся с уже знакомой ситуацией, когда формирование хаоса в верхней части слоя полностью определяется слабой, но низкочастотной вторичной гармоникой [11,12].

В работе [7] исследовался низкочастотный предел  $\Omega \rightarrow 0$  маятника для симметричного возмущения и было показано существование областей, в которых амплитуда сепаратрисного отображения растет линейно с частотой, а размер хаотического слоя от нее не зависит. Но в [7] эти низкие частоты являлись первичными и явно входили в гамильтониан (сравнительно редкий для практики случай), а вторичные гармоники вообще не возникали. Рассматриваемая в настоящей работе ситуация

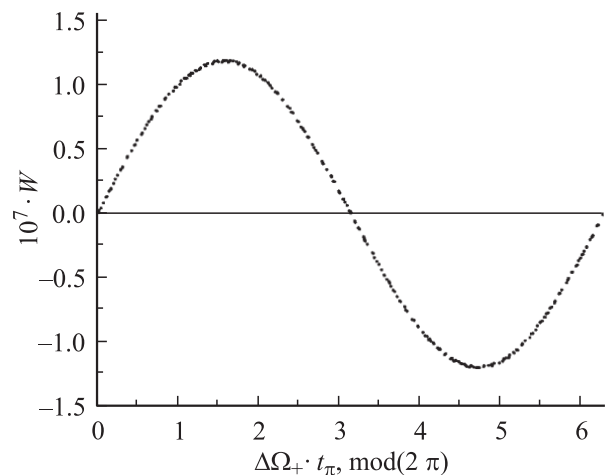
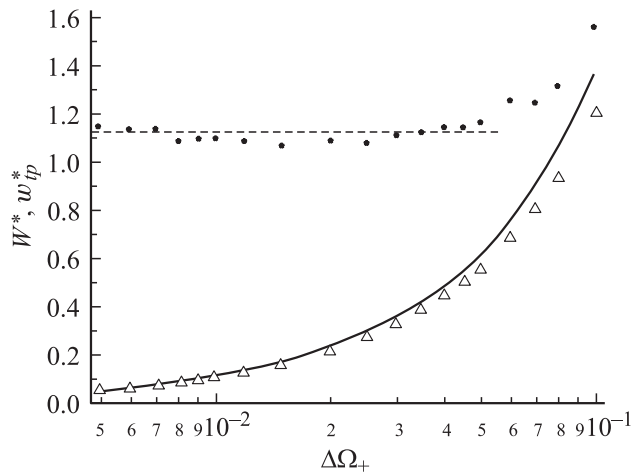
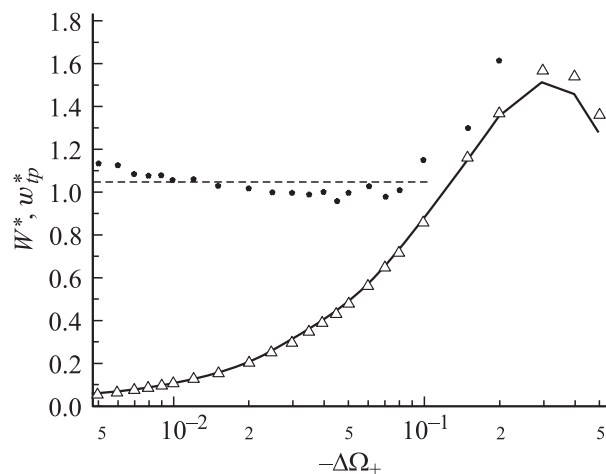


Рис. 1. Численное построение сепаратрисного отображения (27), (28) для системы (1), (11) с частотами  $\Omega_1 = 16.0$ ,  $\Omega_2 = -15.9$ ,  $\Delta\Omega_+ = 0.1$ . Амплитуда равна  $W = 1.20 \cdot 10^{-7}$ .



**Рис. 2.** Система (1), (11) с частотами  $\Omega_1 = 16.0$ ,  $\Omega_2 = \text{var}$ ,  $\Delta\Omega_+ > 0$ . Приведенная амплитуда сепаратрисного отображения  $W^*$ : треугольники — численный счет, сплошная линия построена по формуле (21) при  $a_+ = 0.4$ . Приведенный размер верхней части хаотического слоя  $w_{ip}^*$ : звездочки — численная итерация сепаратрисного отображения (27), пунктир — область  $w_{ip}^* \approx \text{const}$ .



**Рис. 3.** Система (1), (11) с частотами  $\Omega_1 = 16.0$ ,  $\Omega_2 = \text{var}$ ,  $\Delta\Omega_+ < 0$ . Остальные обозначения те же, что и на рис. 2.

качественно иная: в возмущении имеются как высокие первичные, так и низкие вторичные частоты. Интересно выяснить, какие зависимости обнаружатся при высоких первичных частотах, если их сумму устремить к нулю.

На рис. 2, 3 показано поведение приведенных (см. формулу (31)) величин амплитуды сепаратрисного отображения и размера верхней части хаотического слоя как для верхних, так и для нижних вторичных гармоник (нижние индексы в  $W_+^*$  здесь опущены). Эти рисунки демонстрируют неплохое качественное согласие теории и численного счета. Мы убеждаемся в том, что при  $\Delta\Omega_+ \rightarrow 0$  для вторичных гармоник имеют место те же закономерности, что и для низкочастотных первичных гармоник при симметричном возмущении: амплитуда се-

паратрисного отображения растет линейно с частотой, а размер слоя практически от нее не зависит. Вместе с тем обращает на себя внимание тот факт, что предсказанная теорией независимость размера хаотического слоя от частоты выполняется лишь приближенно и заметно нарушается на краях указанного интервала. Рост размера слоя на правом краю этого интервала естественно связан с выходом из области низкочастотной асимптотики. Отклонение на левом краю можно объяснить тем, что вклад вторичной гармоники в амплитуду сепаратрисного отображения становится соизмерим с вкладом от первичной частоты и само отображение перестает быть одночастотным.

## Заключение

В описанных выше исследованиях по выяснению деталей формирования динамического хаоса в гамильтоновых системах широко использована модель маятника, находящегося под действием различных гармонических возмущений. Эта модель, как и ее дискретный аналог — стандартное отображение Чирикова, является весьма популярной и часто применяется в нелинейной динамике.

Наиболее подробно рассмотрен случай, когда возмущение представлено в гамильтониане двумя гармониками с различными частотами. Приведены теоретические и экспериментальные факты, которые заставляют признать, что возникающие на сумме и разности этих частот вторичные гармоники — реальные объекты. При определенных условиях именно они решающим образом влияют на образование хаотической компоненты движения.

Вместе с тем представленные здесь аналитические соотношения носят приближенный характер и для согласия с численным экспериментом нуждаются в использовании поправочных эмпирических коэффициентов (см. формулу (21)), природу которых еще предстоит прояснить. Построение полноценной теории гамильтоновых систем требует, по нашему мнению, дальнейшего экспериментального и теоретического исследования участия вторичных гармоник в формировании динамического хаоса.

Работа выполнена при частичной финансовой поддержке комплексной научной программы РАН „Математические методы в нелинейной динамике“.

## Список литературы

- [1] Chirikov B.V. // Phys. Rep. 1979. Vol. 52. P. 263.
- [2] Lichtenberg A., Leiberman M. Regular and Chaotic Dynamics. Berlin: Springer, 1992.
- [3] Заславский Г.М., Сагдеев П.З. Введение в нелинейную физику. М.: Наука, 1988.
- [4] Bullett S. // Commun. Math. Phys. 1986. Vol. 107. P. 241.
- [5] Вечеславов В.В. Препринт ИЯФ. Новосибирск, 2000. № 2000-27. E-print archive nlin. CD/0005048.

- [6] Вечеславов В.В., Чириков Б.В. // ЖЭТФ. 2001. Т. 120. Вып. 3. С. 740.
- [7] Вечеславов В.В. // ЖТФ. 2004. Т. 74. Вып. 5. С. 1.
- [8] Вечеславов В.В. // ЖТФ. 1988. Т. 58. Вып. 1. С. 20.
- [9] Вечеславов В.В. // ЖТФ. 2002. Т. 72. Вып. 2. С. 20.
- [10] Вечеславов В.В. // ЖЭТФ. 2004. Т. 125. Вып. 2. С. 399.
- [11] Вечеславов В.В. // ЖЭТФ. 1996. Т. 109. Вып. 6. С. 2208.
- [12] Вечеславов В.В. // ПЖЭТФ. 1996. Т. 63. Вып. 12. С. 989.
- [13] Вечеславов В.В. // ЖТФ. 2003. Т. 73. Вып. 9. С. 1.
- [14] Вечеславов В.В. // ЖЭТФ. 2004. Т. 126. Вып. 2. С. 1.
- [15] Заславский Г.М., Филоненко Н.Н. // ЖЭТФ. 1965. Т. 54. С. 1590.